

### **Глава 3. РАЗРАБОТКА ИНЖЕНЕРНОЙ ФИЗИЧЕСКОЙ МОДЕЛИ НАКОПЛЕНИЯ ПОВРЕЖДЕННОСТИ ПРИ ХОЛОДНОЙ ПЛАСТИЧЕСКОЙ ДЕФОРМАЦИИ СТАЛЕЙ**

#### **3.1. Модель накопления деформационной поврежденности, основанная на учете взаимного превращения дефектов кристаллического строения.**

При разработке и обосновании предлагаемой инженерной физической модели накопления деформационной поврежденности необходимо исходить из основной сути разрушения, как физического явления. Многие исследователи [44, 46, 48, 107] отмечают, что любое разрушение связано с пластической деформацией. Основываясь на результатах анализа современных представлений о физической природе разрушения и деформируемости металлов (раздел 1.1.), будем исходить из того, что разрушение и пластическая деформация есть единый кинетический, многостадийный, вероятностный и активируемый (термически и механически) процесс непрерывного перехода материала из одного структурного состояния в другое. Протекание его обусловлено движением и взаимным превращением дефектов кристаллического строения разного типа (вакансий, междоузельных атомов, дислокаций, субмикро- и микротрещин). Следовательно, с термодинамической точки зрения, процесс пластической деформации и разрушения является неравновесным, и его последовательное описание возможно либо в рамках термодинамики неравновесных процессов - феноменологический подход, либо в рамках кинетики (физический подход).

Попытки рассмотрения пластической деформации и разрушения металлов на основе основных положений термодинамики неравновесных систем в последние годы предпринимаются все чаще. И здесь достигнут определенный прогресс [108, 109]. Однако, построение строгой теории в рамках данного подхода является делом будущего.

В данной работе предлагается развитие кинетического подхода Ю.А. Лавриненко [1]. Отличительной чертой этого подхода является последователь-

ный и самосогласованный учет существенных особенностей поведения дефектов кристаллического строения, включая их рождение и взаимного превращения.

Метод пригоден для описания единого процесса пластической деформации и разрушения разных материалов при различных условиях деформирования. Эта общность достигается за счет отказа от учета наименее существенных особенностей механизма пластической деформации и конкретизации характера дислокационных превращений, и неразрывно с ним связанным дислокационным механизмом зарождения, развития или захлопывание микротрещин.

Схема включает в себя уравнения детального баланса для плотностей дислокаций, плотности микротрещин и уравнения связи между плотностью дислокаций и макроскопическими величинами [110], характеризующими процесс пластической деформации. Взаимные превращения дефектов кристаллического строения изображают, следуя [1, 111], в виде схемы. Разные точки на схеме соответствуют разным типам дефектов, линии со стрелками - направлениям превращений. Она изображена на рис. 9. Эта схема отражает следующие физические процессы.

При переходе материала в пластическое состояние дислокационные источники порождают подвижные дислокации  $\mathbf{g}$ . Двигаясь по зерну, дислокация встречает препятствие и останавливается на нем, превращаясь из подвижной в неподвижную дислокацию  $\mathbf{S}$ . Превращение  $\mathbf{g} \rightarrow \mathbf{S}$  происходит с частотой  $V_{gs}$ . Неподвижная дислокация может сорваться с барьера и снова стать подвижной, например, за счет переползания в параллельные плоскости скольжения (краевая дислокация) или путем поперечного скольжения (винтовая) или перерезать барьер и так далее. Это превращение происходит с частотой  $V_{sg}$ . Кроме этого, неподвижная дислокация может исчезнуть (аннигилировать) при попытке стать подвижной, встретив при переползании и последующем скольжении или поперечном скольжении дислокацию противоположного знака. Это исчез-

новение происходит с частотой  $V_{sr}$ . Возникающие при деформации неподвижные (заторможенные барьерами) дислокации  $S$ , а также их скопления, в том числе плоские, могут не только снова превращаться в подвижные и исчезать при переползании и аннигиляции, но и превращаться в суб- и микротрещины  $m$ , например по механизму, изображенному на рис. 1 (стадии зарождения микротрещины). Это превращение происходит с частотой  $V_{sm}$  и соответствует первой стадии разрушения, которая, как известно, наступает практически одновременно с началом пластической деформации. Так как микротрещина является термодинамически неустойчивым объектом, она может исчезнуть (залечиться). Этот процесс характеризуется частотой  $V_{md}$ . С увеличением времени и деформации (на второй стадии разрушения [66, 67]) происходит увеличение плотности микротрещин со скоростью, определяемой соотношением частот  $V_{sm}$  и  $V_{md}$ . Третья стадия разрушения наступает при достижении плотностью микротрещин критического значения  $N_{кр}=10^{11} \dots 10^{12} \text{ 1/см}^3$  [46, 66, 67]. С учетом, что средний размер микротрещин равен  $0,1 \text{ мкм} = 10^{-5} \text{ см}$  [45, 46, 67], их плотность можно определить, по аналогии со скалярной плотностью дислокаций, как суммарную длину всех микротрещин в единице объема. В этом случае  $N_{кр}=10^6 \dots 10^7 \text{ 1/см}^2$ . При этой плотности, согласно существующим представлениям, микротрещины объединяются в макротрещину, рост которой становится термодинамически выгоден, и наступает разрушение.

Необходимо отметить, что данная схема является существенно приближенной. Для последовательного описания кинетики накопления микротрещин при пластической деформации необходимо детальное рассмотрение взаимодействия ансамбля микротрещин с другими дефектами решетки (дислокациями, границами блоков и зерен, дисперсными частицами), а также между собой [112].

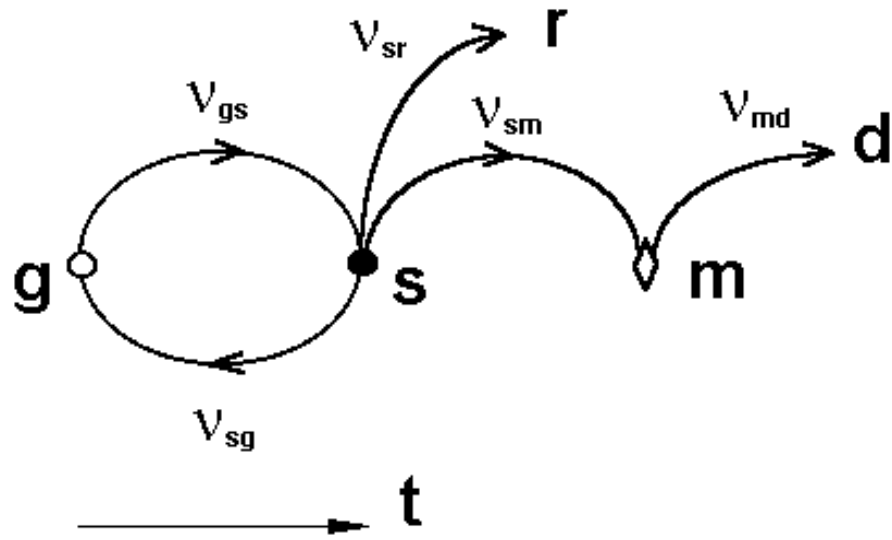


Рис. 9. Схема взаимного превращения дефектов кристаллического строения в едином процессе пластической деформации и разрушения.

Однако она, по нашему мнению, учитывает наиболее существенные черты единого процесса пластической деформации и разрушения. Поэтому, как будет показано ниже, позволяет получить достаточно простую модель накопления деформационной поврежденности в сталях при холодном пластическом формообразовании, обеспечивающую решение технологических задач с приемлемой для практики точностью [110, 113, 114].

Полная система уравнений детального баланса плотностей дефектов и уравнений связи, соответствующая схеме на рис. 9, будет иметь вид [110]:

$$\frac{d\rho_s}{dt} = \rho_g v_{gs} - \rho_s (v_{sg} + v_{sr} + v_{sm}), \quad (\text{а})$$

$$\frac{dN_m}{dt} = a \cdot \rho_s v_{sm} - N_m v_{md}, \quad (\text{б})$$

$$\dot{\varepsilon} = b \cdot v \cdot \rho_g, \quad (\text{в})$$

$$\sigma = \alpha \bar{m} G b \sqrt{\rho_s}, \quad (\text{г})$$

где  $\rho_s$ ,  $\rho_g$ ,  $N_m$  - соответственно средние по объему материала плотности неподвижных и подвижных дислокаций и микротрещин;  $a$  - параметр, учитывающий разную природу дислокаций и микротрещин.

Совместное решение уравнений (а) и (в) системы (48) относительно  $\rho_s$ , получено ранее в работе [96], с учетом, что  $v_{sm} \ll v_{sg} + v_{sr}$ , имеет вид

$$\rho_s = \frac{\dot{\varepsilon} \left[ \exp\left(\frac{\varepsilon}{\dot{\varepsilon} V_0}\right) - 1 \right] + \rho_{s0}}{\exp\left(\frac{\varepsilon}{\dot{\varepsilon} V_0}\right)}, \quad (49)$$

где  $V_0 = v_{sg} + v_{sr}$  - суммарная частота “развала” неподвижных дислокаций;  $\varepsilon / \dot{\varepsilon} = t$ ;  $\lambda = v / v_{gs}$  - средняя длина свободного пробега подвижных дис-

локаций (по порядку величины равная линейному размеру субструктурных элементов в металлах  $\sim 10^{-4}$  см);  $\rho_{so}$  - исходная (до деформации) плотность неподвижных дислокаций в материале.

Подставляя (49) в уравнение (б) системы (48) и полагая, что частоты  $v_{sm}$  и  $v_{md}$  не зависят от времени и  $N_m$  (линейное приближение), после интегрирования при начальных условиях  $t = 0$ ,  $N_m = N_{mo}$ , для случая монотонной деформации и простого нагружения, получим

$$N_m = \frac{\left\{ \frac{v_{sm} \cdot a}{v_0 b \lambda} \left[ \exp\left(\frac{\varepsilon}{\dot{\varepsilon} v_0}\right) - 1 \right] + \rho_{so} \cdot a \cdot v_{sm} \right\} \left[ \exp\left(\frac{\varepsilon}{\dot{\varepsilon} v_{md}}\right) - 1 \right] + N_{mo} v_{md}}{v_{md} \exp\left(\frac{\varepsilon}{\dot{\varepsilon} v_{md}}\right)}. \quad (50)$$

Подстановка (79) в уравнение (г) системы (48) дает физическую модель пластически деформируемого материала [96], тогда с учетом этого, уравнение (50) примет вид

$$N_m = \frac{\frac{\sigma^2 v_{sm} a}{(\alpha \bar{m} G b)^2 v_{md}} \left[ \exp\left(\frac{\varepsilon}{\dot{\varepsilon} v_{md}}\right) - 1 \right] + N_{mo}}{\exp\left(\frac{\varepsilon}{\dot{\varepsilon} v_{md}}\right)}, \quad (51)$$

где  $N_{mo}$  - исходная в материале плотность микротрещин. Величина  $N_m$  является скалярной, поэтому под  $\sigma$ ,  $\varepsilon$  и  $\dot{\varepsilon}$  в (51) следует понимать интенсивность напряжений, деформаций и скоростей деформаций.

Элементарные процессы образования и залечивания микротрещин в неравновесном процессе пластической деформации и разрушения являются термически и механически активируемыми [45, 48], поэтому:

$$v_{sm} = v_{sm}^0 \exp\left(-\frac{U_{sm}^0 - \sigma\gamma_{sm}}{kT}\right), \quad (52)$$

$$v_{md} = v_{md}^0 \exp\left(-\frac{U_{md}^0 - \sigma\gamma_{md}}{kT}\right), \quad (53)$$

где  $U_{sm}^0$  - начальная энергия активации образования микротрещины;  $U_{md}^0$  - начальная энергия активации залечивания микротрещины;  $\gamma_{sm} = Ab^3$  и  $\gamma_{md} = Bb^3$  - соответствующие активационные объемы;  $A$  и  $B$  - коэффициенты активационных объемов (коэффициенты перенапряжения [48]);  $b^3$  - атомный объем.

Как отмечалось выше, в сформулированной модели единого процесса пластической деформации и разрушения, система (48), не конкретизируются детально микроскопические механизмы зарождения и взаимодействия ансамблей дефектов различного типа. Поэтому под  $U_{sm}^0$  и  $U_{md}^0$  в (52) и (53) следует понимать некоторые эффективные (интегральные) энергии активации, которые как-то отражают сложную комбинацию событий разного рода [48].

В экспериментах по долговечности металлов было установлено, что  $U_{sm}^0$  наиболее близка к энергии сублимации  $U_{sm}^0 \approx \frac{Gb^3}{2}$  [48]. Коэффициент активационного объема  $A$  имеет порядок  $10^2$  [67]. Этот результат был получен и при теоретическом исследовании возможного механизма зарождения микротрещины [65].

В работах [115, 116] было показано, что энергия активации процесса залечивания микротрещин близка к энергии образования или миграции вакансии. Из этого следует заключение, что элементарный процесс залечивания микротрещины имеет диффузионную природу и заключается в отрыве вакансии от

поверхности микротрещины и ее миграции к стокам [117]. Если стоками вакансий являются дислокации с неконсервативными ступеньками [112] и если учесть, что сжимающее гидростатическое давление должно способствовать "выдавливанию" вакансий из микротрещины (уменьшать энергию активации), то в выражении (53) под  $U_{md}^o$  можно считать энергией вакансии  $U_{md}^o = Gb^3 / 6$ .

Модель (51) позволяет естественным образом использовать физические условия деформируемости металла без разрушения и разрушения вида:

$$N_m < N_{кр}, N_m = N_{кр} = 10^6 \dots 10^7 \text{ 1/см}^2. \quad (54-55)$$

При достижении  $N_m$  значения  $N_{кр}$ , интенсивность деформации в (51) будет соответствовать предельной  $\varepsilon_*$ . При этом степень использования запаса пластичности материала  $\Psi$  [12] в рамках данной модели может быть определена как

$$\Psi^* = N_m / N_{кр}. \quad (56)$$

Величину  $\Psi^*$  назовем степень поврежденности.

Дальнейший анализ проведем, конкретизируя модель накопления поврежденности (51) к условиям холодной пластической деформации металлов.

Является общепринятым положением о том, что при холодной пластической деформации скорость деформации в широком интервале ее значений практически не влияет как на напряжение течения, так и на пластичность металлов [1, 57, 96, 118]. Поэтому, как и в работе [96], скорость деформации можно исключить из (51), если положить

$$v_{sm} = k_{sm} \dot{\varepsilon}, \quad (57)$$

$$v_{md} = k_{md} \dot{\varepsilon}. \quad (58)$$

где  $k_{sm}$  и  $k_{md}$  - коэффициенты пропорциональности.



Из сравнения (57), (52) и (58), (53) с учетом размерностей величин следует, что:

$$k_{sm} = \exp\left(-\frac{U_{sm}^0 - \sigma\gamma_{sm}}{kT}\right), \quad (59)$$

$$k_{md} = \exp\left(-\frac{U_{md}^0 - \sigma\gamma_{md}}{kT}\right). \quad (60)$$

и представляют собой вероятности процессов образования и залечивания микротрещин соответственно.

Применение модели накопления деформационной поврежденности в процессах развитой пластической деформации связано с определением НДС. Поэтому достоверность прогнозирования разрушения, в первую очередь, зависит от точности расчета характеристик НДС.

В работе [1] отмечено, что неучет деформационной анизотропии обуславливает погрешность в определении силы деформирования и характеристик напряженного состояния равную 25% даже в случае монотонной деформации и простого нагружения. При определении характеристик деформированного состояния относительная погрешность составляет 14%.

Поэтому, уравнения краевой задачи теории пластичности должны включать и уравнения пластического состояния изотропного материала с анизотропным упрочнением [77] (теория пластичности Ю.И. Кадашевича и В.В. Новожилова), то в этом случае, в предлагаемой модели накопления поврежденности  $\sigma_i = \Phi(\varepsilon_i)$ .

С учетом (57) и (58), и введя функцию пластичности  $\Phi(\varepsilon_i)$  (39), уравнение (51) примет вид:

$$N_m = \frac{\Phi^2(\varepsilon_i) \cdot k_{sm} a}{(\alpha \bar{m} G b)^2 k_{md}} \left[ \exp(k_{md} \varepsilon_i) - 1 \right] + N_{mo} \cdot \exp(k_{md} \varepsilon_i). \quad (61)$$

Для применения инженерной физической модели деформируемости в расчетах немонотонных процессов и процессов со сложным (непропорциональным) нагружением необходимо иметь уравнение для приращения плотности микротрещин. Оно получается на основе уравнений (б), (г) системы (51) и уравнения (49) в виде

$$dN_{m(i)} = \left[ \frac{a \cdot \Phi^2(\varepsilon_i) \cdot k_{sm(i)}}{(\alpha \bar{m} G b)^2} - N_{m(i-1)} \cdot k_{md(i)} \right] \cdot d\varepsilon_i, \quad (62)$$

$$N_{m(i)} = \int_{\varepsilon_i} dN_{m(i)}, \quad (63)$$

где  $dN_{m(i)}$  - приращение плотности микротрещин на  $i$  - ом этапе нагружения;  $N_{mo(i-1)}$  - накопленная частицей плотность микротрещин за  $(i-1)$  этапов нагружения;  $N_{m(i)}$  - накопленная частицей плотность микротрещин за  $(i)$  этапов нагружения, и интегрирование в (63) ведется по пути деформирования.

На данном этапе разработана инженерная физическая модель накопления деформационной поврежденности при холодной пластической деформации, уравнения (61) и (63), которая учитывает основные механизмы пластической деформации и разрушения металлов.

## 3.2. Определение параметров модели на основе экспериментальных диаграмм деформирования и пластичности сталей.

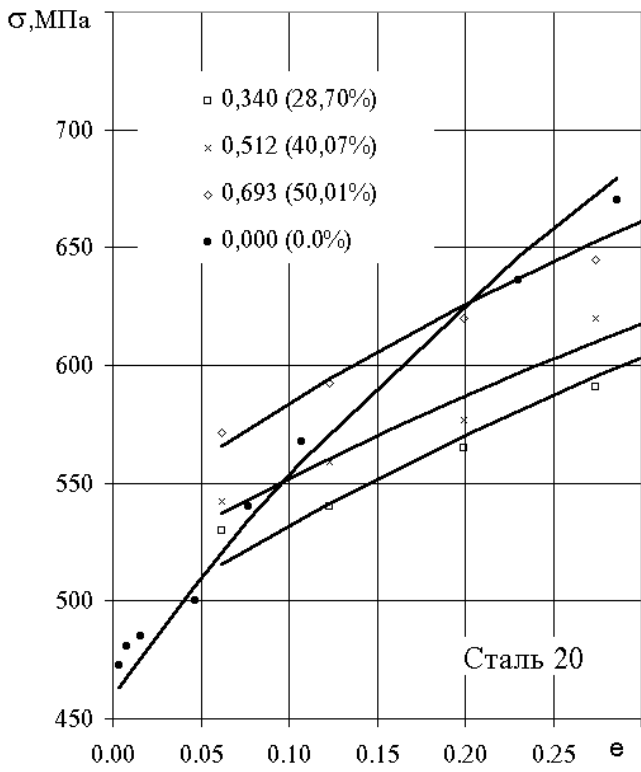
### 3.2.1. Определение параметров на основе экспериментальных диаграмм деформирования.

Определение параметров уравнения (35), сводится к определению зна-

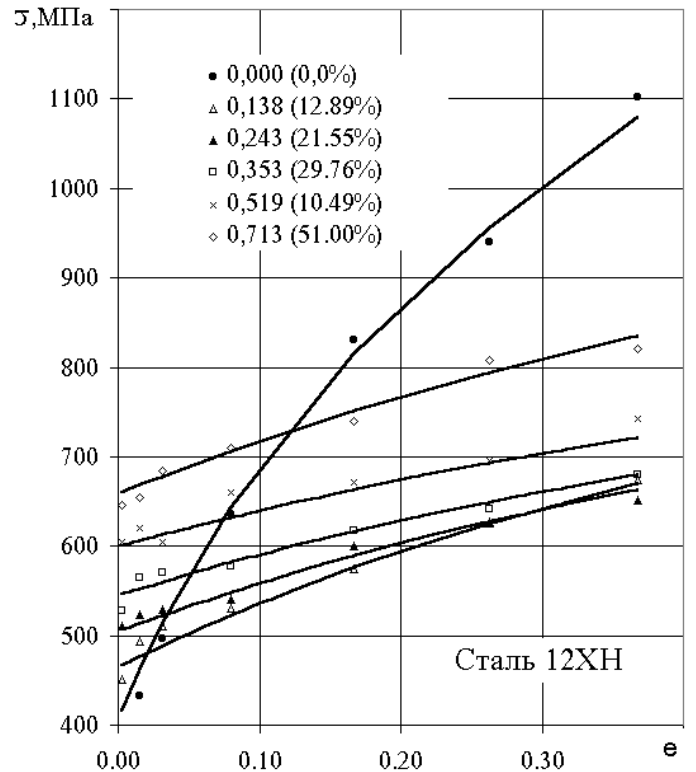
чений величин  $\rho_{SO}$ ,  $\lambda$ , которые для каждого материала можно найти известными методами микроскопического анализа [119]. Однако более просто параметры уравнения (35) определять по экспериментально полученным, согласно методике, описанной в разделе 2.2., диаграммам деформирования (рис. 9.), путем подбора таких значений величин  $\rho_{SO}$  и  $\lambda$ , которые позволят описать последние с весьма высокой точностью; подобная методика описана в работах [1, 96].

Значения параметров уравнений (35), (38), (39) и (40) для исследуемых сталей, полученных при обработке экспериментальных диаграмм деформирования, приведены в таблице 3.1. Рассчитанные по (35), диаграммы деформирования сталей показаны на рис. 10 сплошными кривыми. Зависимости плотности неподвижных дислокаций и длины свободного пробега дислокаций в начальный момент осадки от степени предварительной деформации растяжения - на рис. 11.

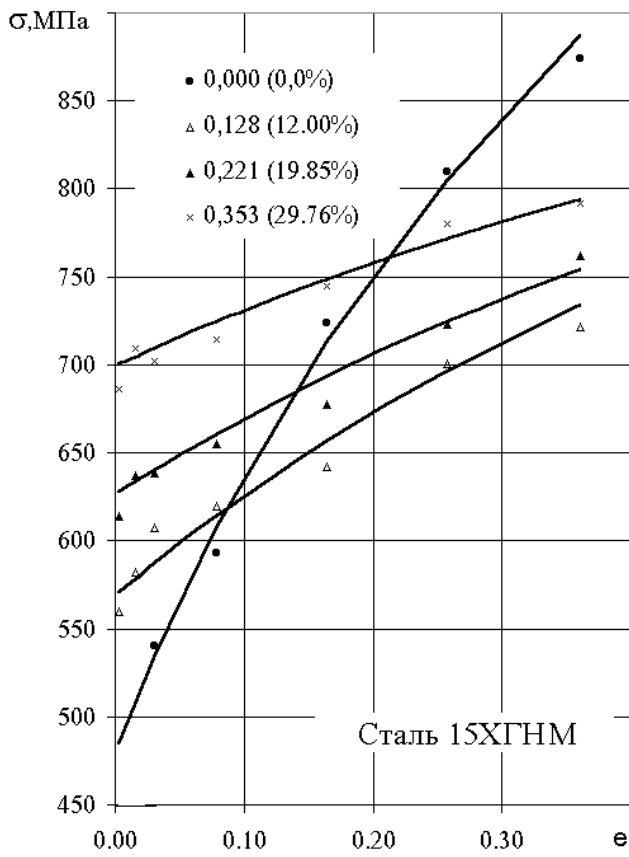
Таблица 3.1 - Значения параметров уравнений (35), (38), (39) и (40)  
для исследуемых сталей.



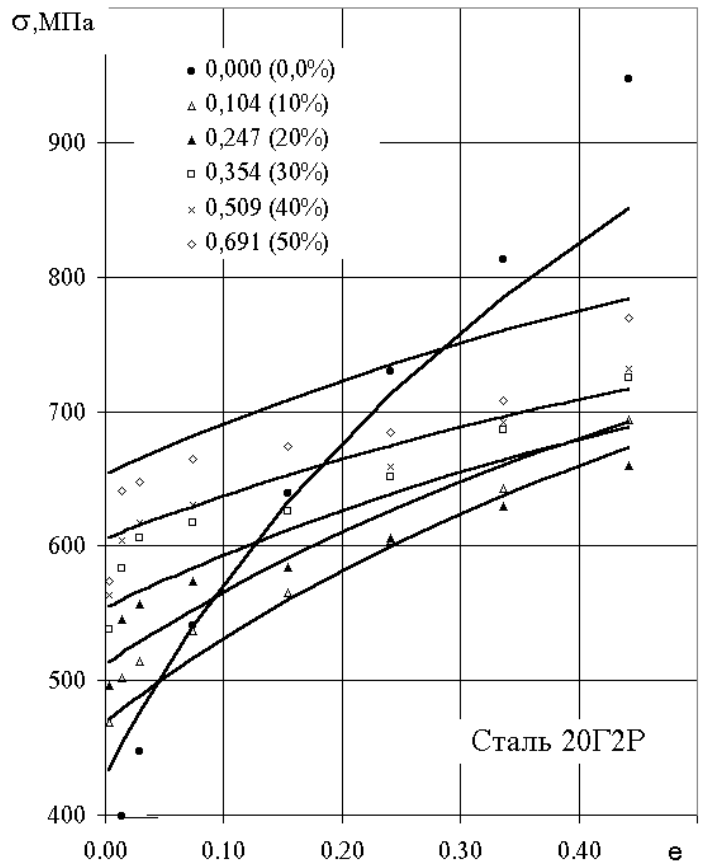
а)



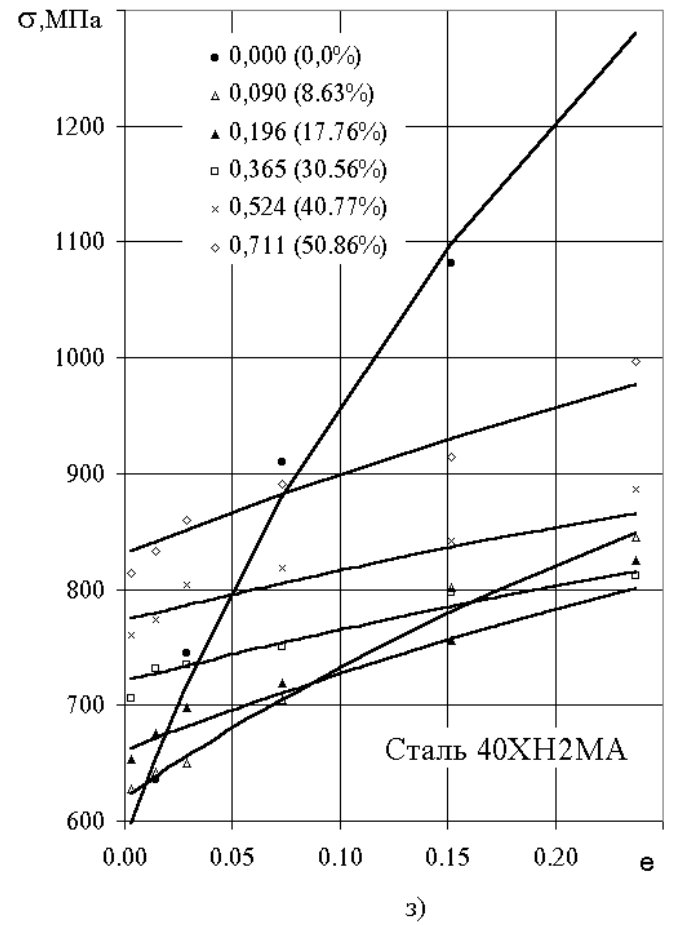
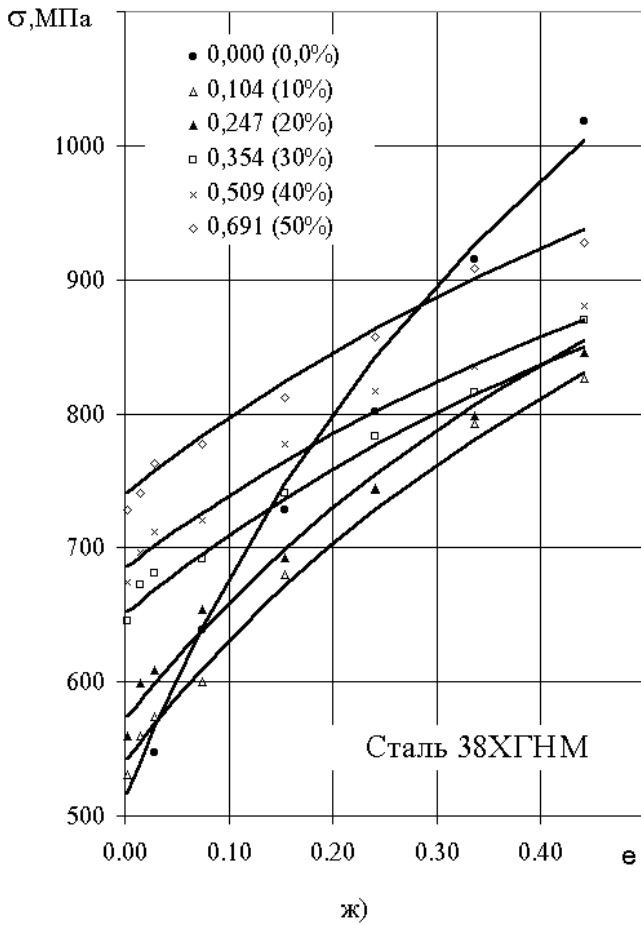
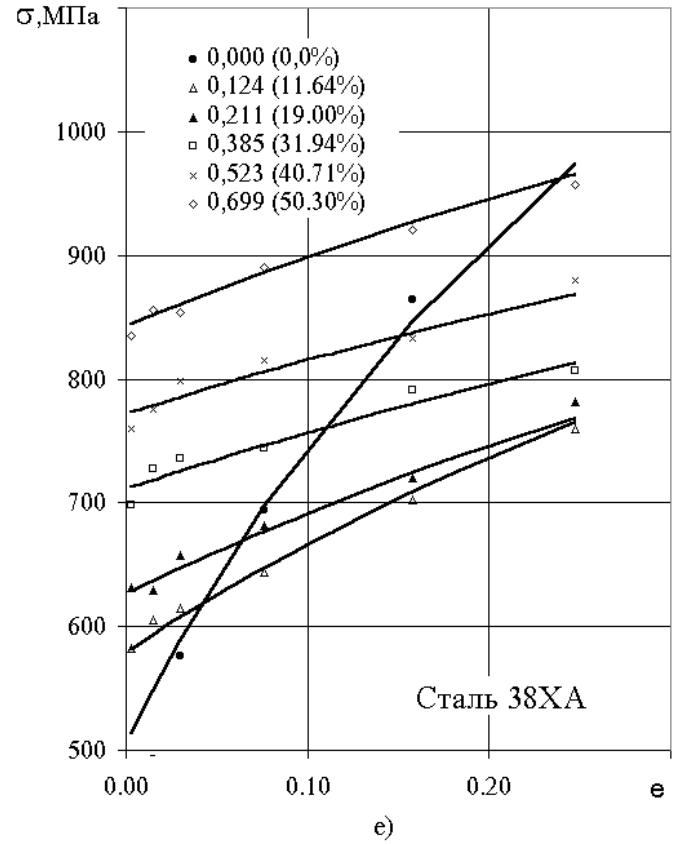
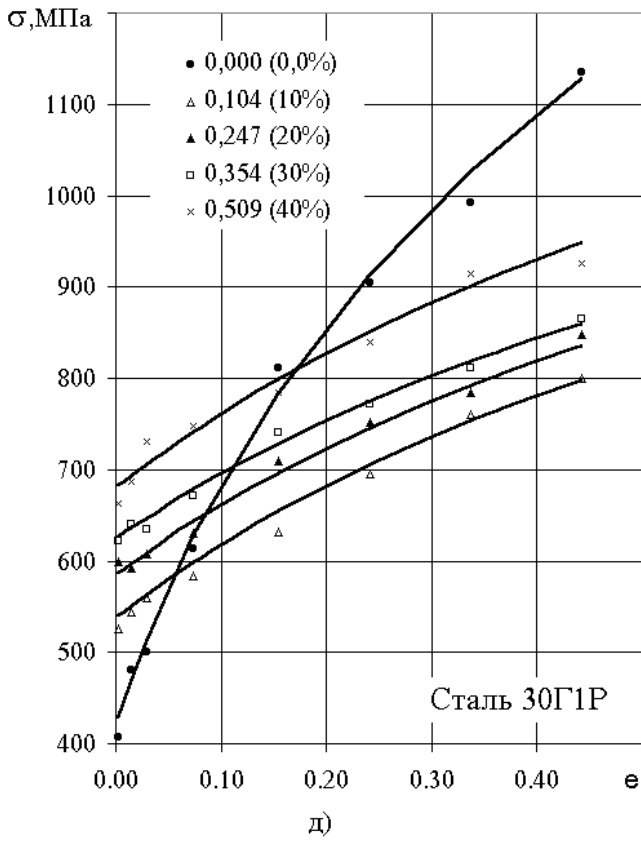
б)



в)



г)



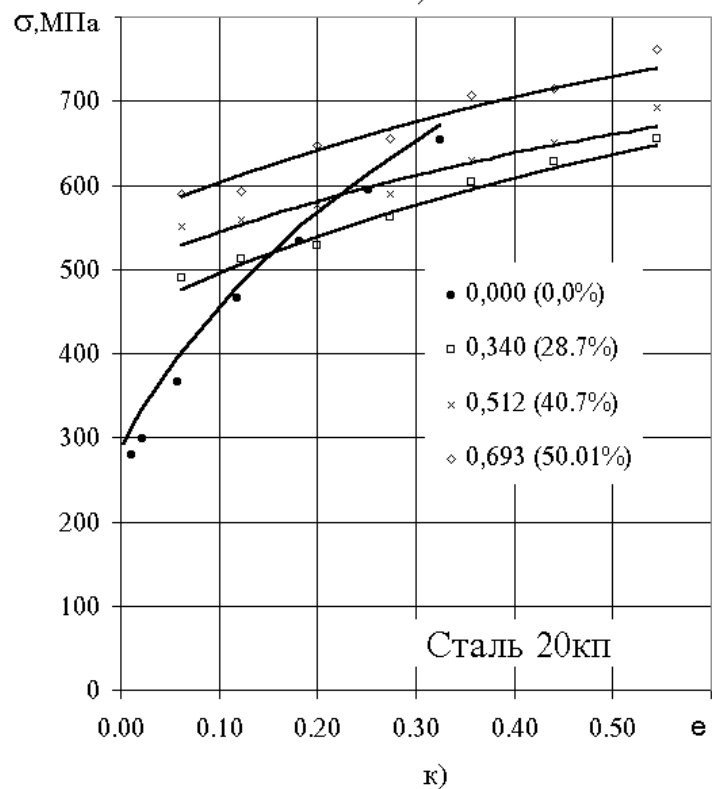
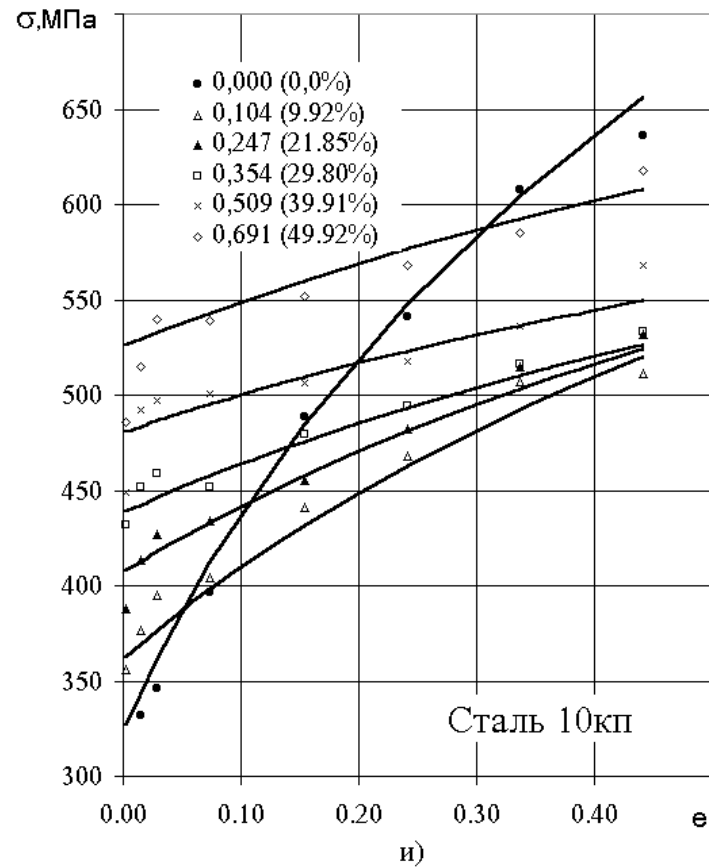
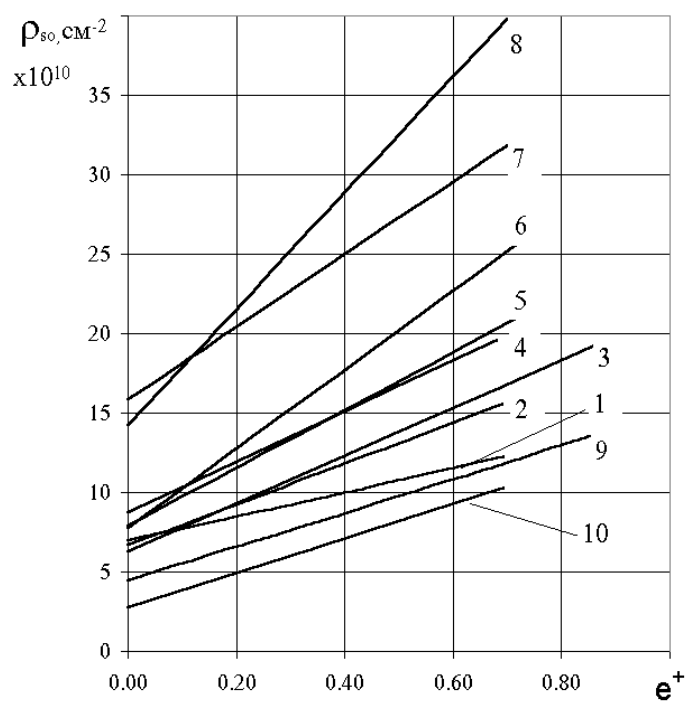
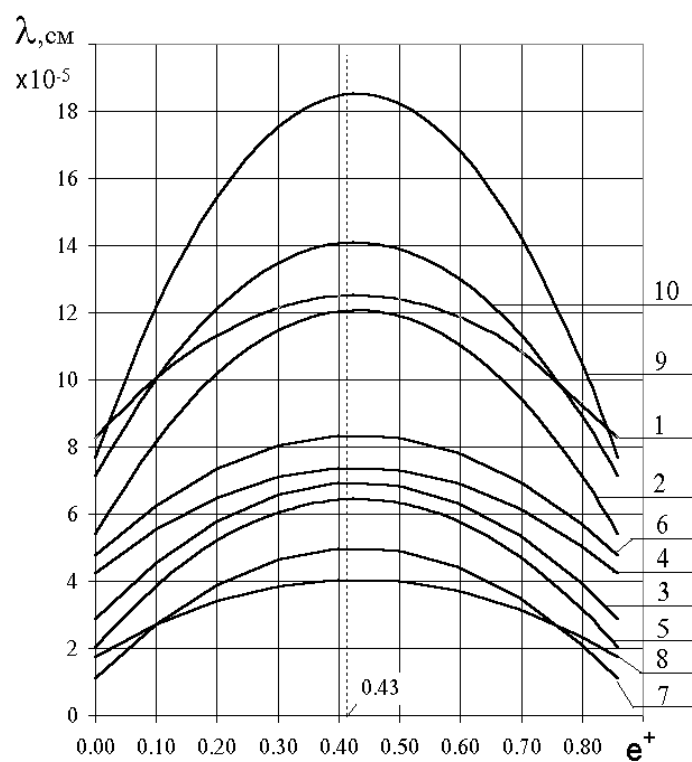


Рис. 10. Влияние предварительной деформации растяжения на диаграммы деформирования исследуемых сталей при последующей осадке: точки - эксперимент, сплошные кривые - теоретические.



а)



б)

Рис. 11. Зависимости плотности неподвижных дислокаций (а) и длины свободного пробега дислокаций (б) в начальный момент осадки от степени предварительной деформации растяжения: 1 - сталь 20; 2 - 20Г2Р; 3 - 30Г1Р; 4 - 38ХГНМ; 5 - 12ХН; 6 - 15ХГНМ; 7 - 40ХН2МА; 8 - 38ХА; 9 - 10кп; 10 - 20кп.

### 3.2.2. Определение параметров модели на основе экспериментальных диаграмм пластичности.

Чтобы определить коэффициенты перенапряжения  $A$  и  $B$  в модели (61) воспользуемся экспериментальными диаграммами пластичности сталей в исходном сфероотоженом состоянии (рис. 12).<sup>\*)</sup> Они получены на основе опытов по кручению цилиндрических образцов из сталей 10кп, 20кп и 38ХГНМ с одновременным наложением постоянного гидростатического давления. В серии испытаний применяли давления:  $p=0$ ; 250; 500; 700МПа. В этих опытах показатель жесткости напряженного состояния изменяется с увеличением степени деформации в соответствии с формулой

$$k = -p / 0,58 \cdot \sigma_i(\varepsilon_i), \quad (64)$$

где  $p$  - гидростатическое давление ( $p = -\sigma_0$ ). Поэтому, каждая точка на диаграммах пластичности характеризует предельную деформацию, соответствующую истории нагружения  $k(\Lambda)$ , описываемой формулой (64).

С использованием экспериментальных диаграмм пластичности (рис.12) на основе уравнения (61) и физического условия разрушения (55) с помощью ПЭВМ для каждого значения показателя напряженного состояния  $k$  были найдены значения  $k_{sm}$  и  $k_{md}$ , и построены зависимости  $k_{sm} = f(k)$  и  $k_{md} = f(k)$ , соответствующие левой и правой границам интервала критических плотностей микротрещин  $N_{кр}$ , при  $N_{mo} = 0$ . При этом учитывалось, что холодная деформация кручением с наложением постоянного гидростатического давления удовлетворяет условиям квазимонотонной деформации. Для  $N_{кр} =$

---

\*) Диаграммы пластичности получены на кафедре обработки металлов давлением



$5 \cdot 10^6 \pm 5 \% \text{ см}^{-2}$  и  $N_{\text{mo}} = 0$  в исходном отожженном состоянии они приведены на рис. 13.

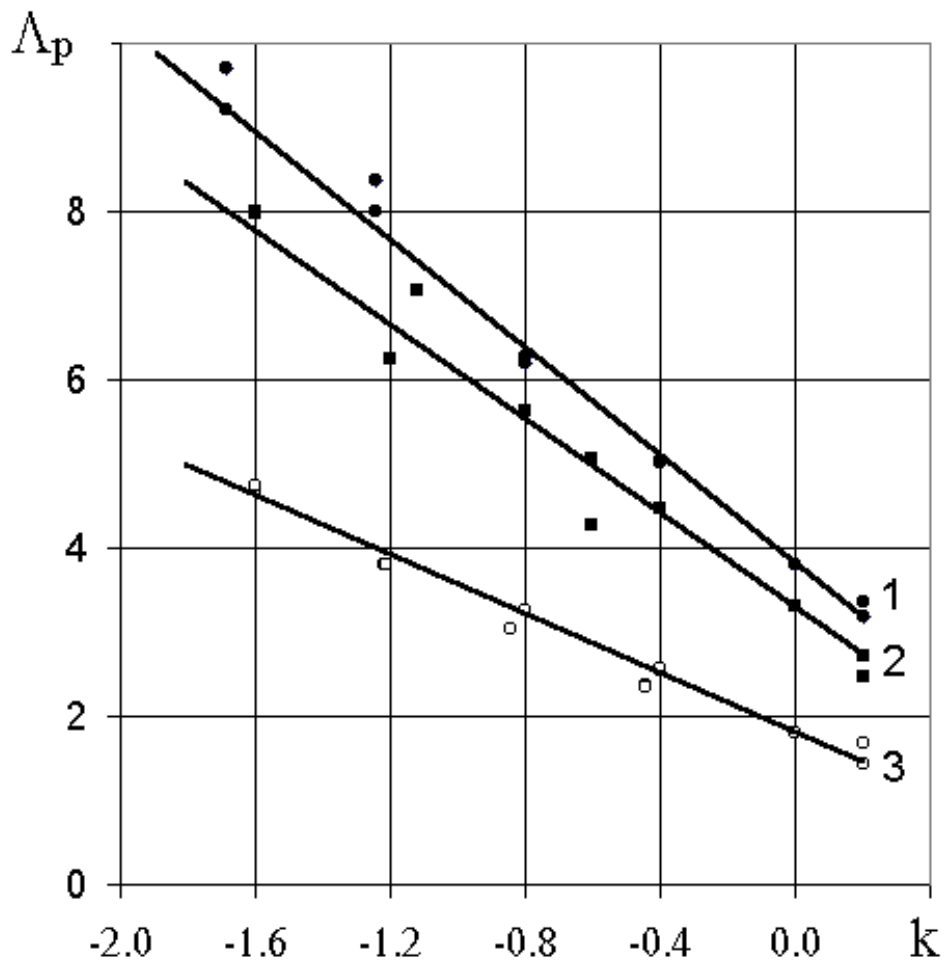


Рис. 12. Диаграммы пластичности сталей:

1(●) - сталь 10кп; 2(□) - 20кп; 3(○) - 38ХГНМ.

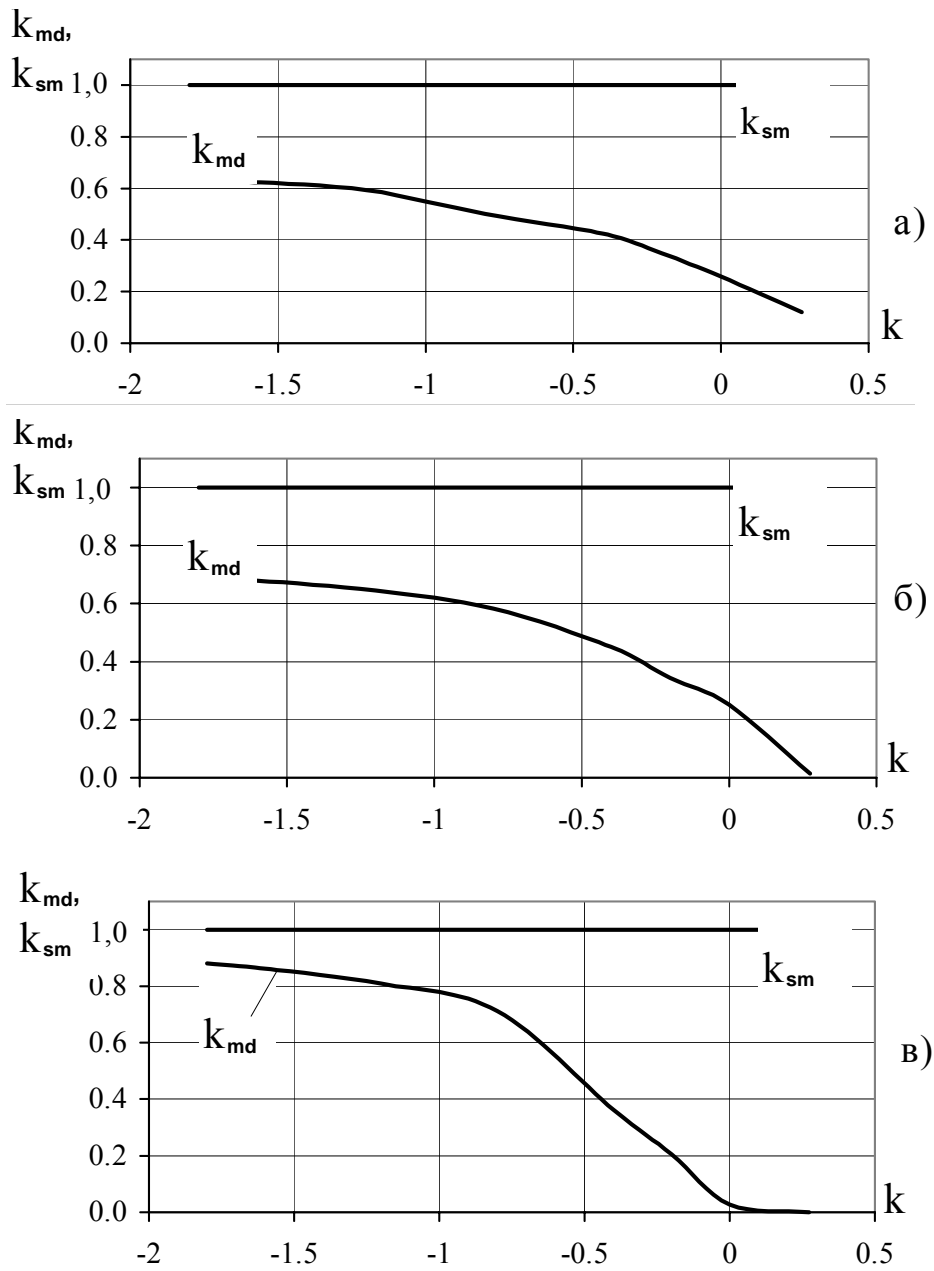


Рис. 13. Зависимости вероятностей образования и залечивания микро- трещин в сталях от показателя напряженного состояния: а) сталь 10кп; б) 20кп; в) 38ХГНМ.

Из них следует, что вероятность образования микротрещины  $k_{sm}$  во всем исследованном интервале изменения  $k$  для трех разных сталей равна единице. В рамках разработанной модели, этот результат однозначно говорит о том, что при активной холодной пластической деформации сталей образование элементарных очагов разрушения (микротрещин) происходит силовым способом, то есть коэффициенты перенапряжения в голове заторможенного дислокационного скопления таковы, что локальные напряжения достигают значений теоретической прочности. В этих условиях рост пластичности сталей, при уменьшении  $k$ , происходит благодаря заметному росту вероятности залечивания микротрещин  $k_{md}$  (рис. 13.).

По найденным значениям  $k_{md}$ , с использованием уравнения (60), были определены зависимости  $B = f(k)$ . Они приведены на рис. 14. Данные зависимости для разных сталей очень близки и  $B$  изменяется в пределах от 5 до 27. Однако предпринятая попытка аппроксимации экспериментальных зависимостей для всех сталей единой функцией и ее использования в расчетах  $k_{md}$  для разных сталей не увенчалась успехом. Из-за специфики экспоненциальной функции и структуры показателя при ней (формула (60)), незначительное изменение  $B$  приводит к существенному изменению  $k_{md}$ .

Получение единой для сталей зависимости  $B(k)$  или  $k_{md}(k)$  имеет большое практическое значение. Она позволит, с учетом, что  $k_{sm} = 1$ , по уравнению (61) определять предельную пластичность без необходимости проведения трудоемкого и требующего достаточно сложного оборудования эксперимента для нахождения экспериментальных диаграмм пластичности для каждой стали. Близость зависимости  $B(k)$  для разных сталей (рис. 14) и ширина интервала критической плотности микротрещин  $N_{кр} = 10^6 \dots 10^7 \text{ см}^{-2}$  свидетельствует о

возможности решения этой задачи. Учитывая это, значения  $k_{md}$  для исследованных сталей были осреднены. Полученная таким способом зависимость  $k_{md}(k)$  приведена на рис. 15 (точки). Ее аппроксимировали выражением:

$$k_{md} = 0,44 - \underline{0,298} \cdot \text{arctg}[k(\varepsilon_i) + 0,6]. \quad (65)$$

Расчет критической плотности микротрещин  $N_{кр}$  для сталей при предельных (в соответствии с диаграммами пластичности (рис. 12) степенях деформаций по уравнению (61), с использованием уравнений (35), (65) и (64) показал, что во всем диапазоне изменений  $k$  значения  $N_{кр}$  находятся в интервале  $10^6 \dots 10^7 \text{ см}^{-2}$  (рис. 16).

Если аппроксимировать средние значения по трем сталям, и определить зависимость  $N_{кр} = f(k)$ , (точки на рис. 16), то представляется возможным функциональное применение физического критерия разрушения  $N_{кр}$  в расчетах для оценки степени поврежденности материала  $\Psi^*$  (56).

Полученная таким образом зависимость имеет вид:

$$N_{кр}(k) = \begin{cases} 10^7, & k(\varepsilon_i) < -2,5, \\ -602532 \cdot k^3(\varepsilon_i) - 3 \cdot 10^6 \cdot k^2(\varepsilon_i) - 3 \cdot 10^6 \cdot k(\varepsilon_i) + 8 \cdot 10^6, & k(\varepsilon_i) \in [-2,5; +1,0], \\ 10^6, & k(\varepsilon_i) > +1,0. \end{cases} \quad (66)$$

Уравнение (66) показывает, что критическая плотность микротрещин, при которой происходит их объединение в макротрещину, рост которой становится термодинамически выгоден, зависит от схемы напряженного состояния. Иначе говоря, необходимая плотность микротрещин при которой начинается разрыв перемычек и объединение микротрещин в макротрещину при “мягких” схемах деформации ( $k(\varepsilon_i) < 0$ ) ближе к  $10^7 \text{ см}^{-2}$ , при “жестких” - к  $10^6 \text{ см}^{-2}$ .

Решение вопроса о возможности применения уравнений (65) и (66) и результата  $k_{sm} = 1$  для описания поврежденности при холодной пластической деформации других групп металлов требует дополнительного исследования. Однако имеются основания полагать, что силовое зарождение микротрещин ( $k_{sm} = 1$ ) в условиях холодной пластической деформации является следствием, установленного ранее [96], силового преодоления подвижными дислокациями барьеров, т.е. дислокации проталкиваются между барьерами действующим напряжением чисто силовым способом, которое, как было установлено [96], наблюдается при  $\sigma \geq 231$  МПа. Поэтому, уравнения (65) и (66) могут быть спра-

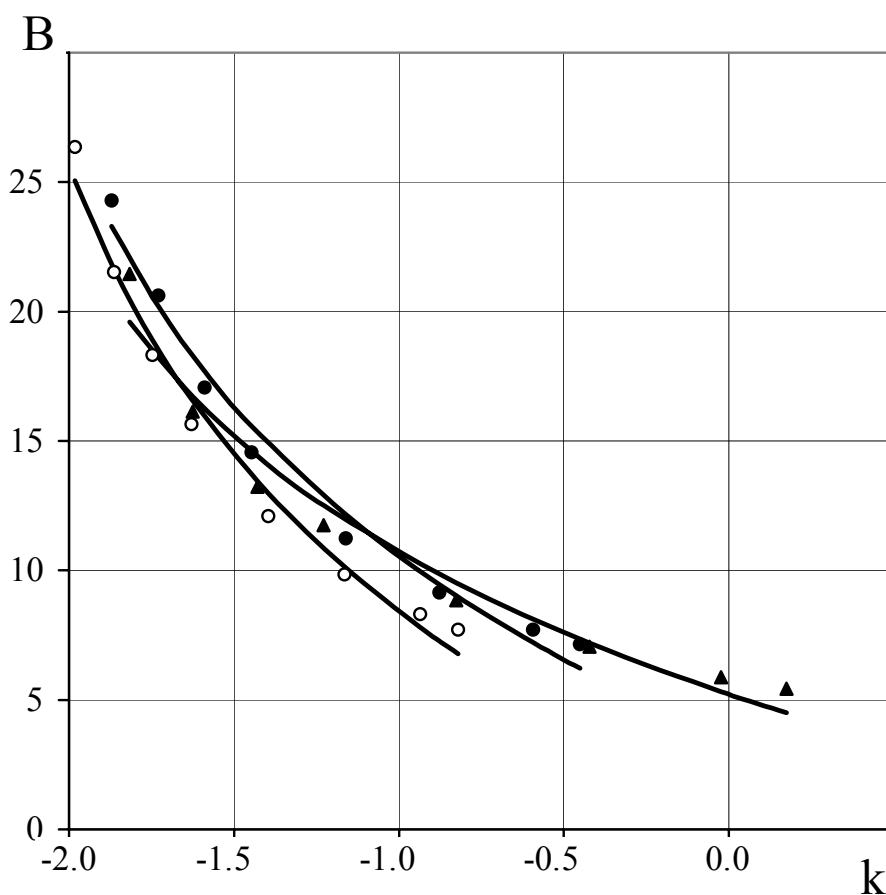


Рис. 14. Зависимости коэффициента активационного объема залечивания микротрещин в сталях от показателя жесткости напряженного состояния:

○ - сталь 10кп; ● - 20кп; Δ - 30ХГНМ.

ведливы для материалов с  $\sigma \geq 231 \text{ Мпа}$ .

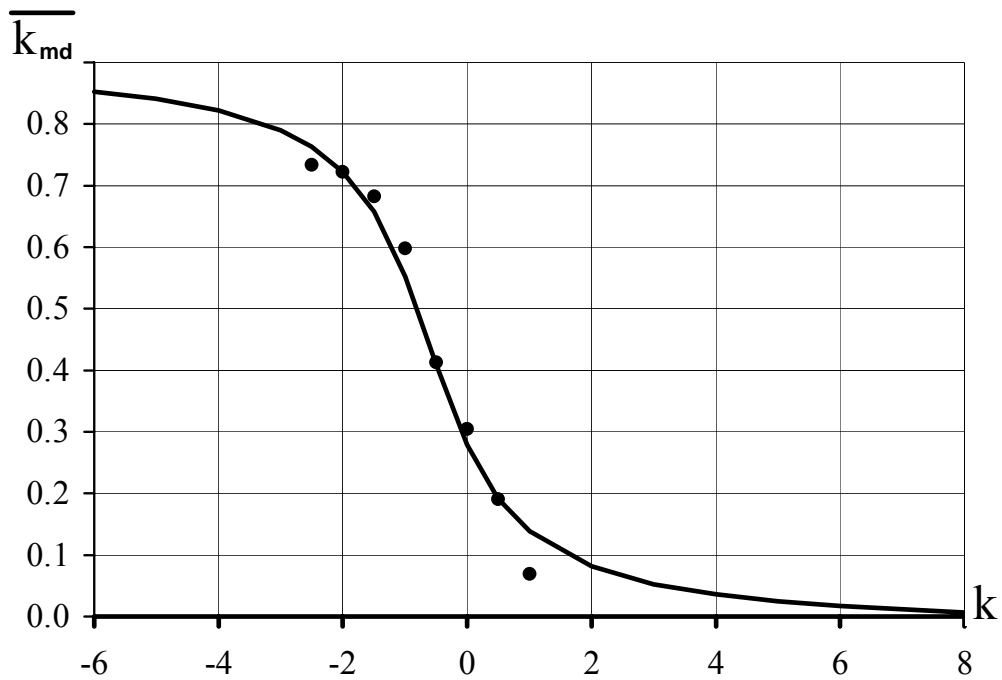


Рис. 15. Осредненная для исследованных сталей зависимость вероятности залечивания микротрещин от показателя жесткости напряженного состояния:  
точки - расчет на основе экспериментальных диаграмм пластичности; сплошная кривая - аппроксимация уравнением (91).

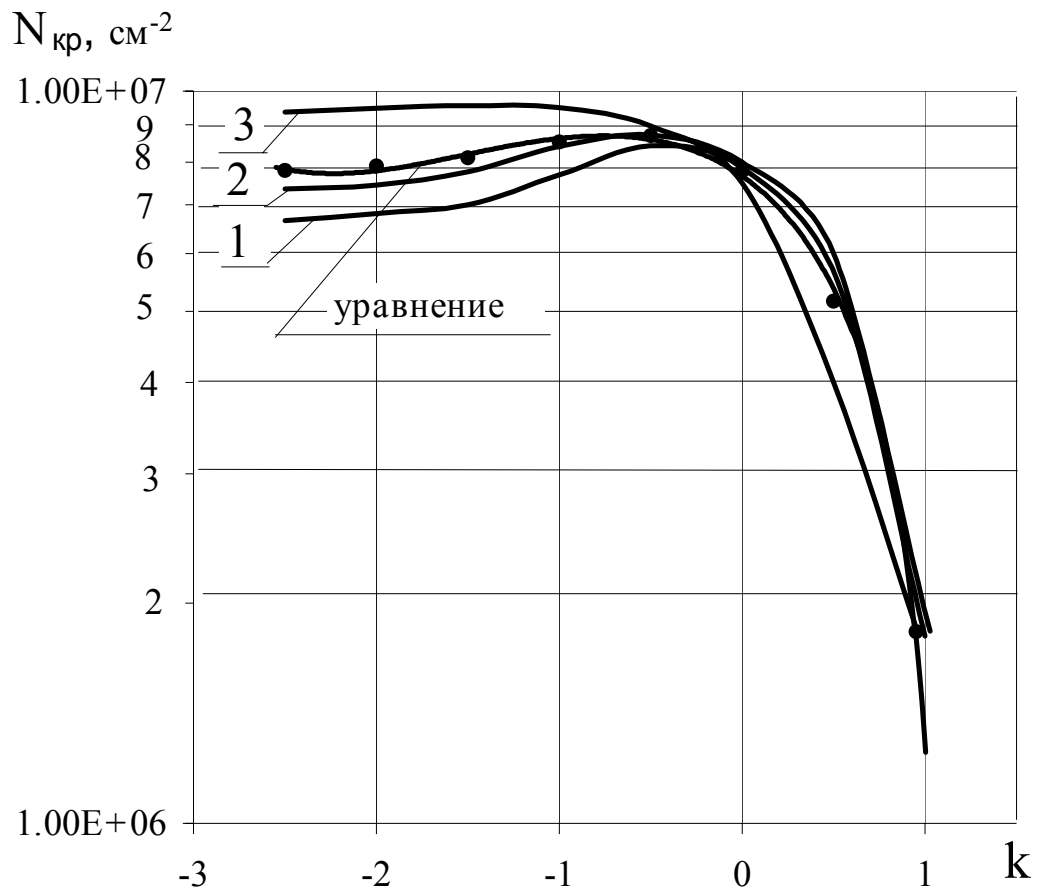


Рис. 16. Зависимость критической плотности микротрещин (к моменту разрушения сталей) от показателя жесткости напряженного состояния:

1 - сталь 10кп; 2 - 20кп; 3 - 38ХГНМ,

точки - средние значения.

